

УДК 538.1

©1994

## ЭФФЕКТЫ КРИСТАЛЛИЧЕСКОГО ПОЛЯ В HoVO<sub>4</sub>

З.А.Казей, Ю.Ф.Попов

Проведены экспериментальные исследования особенностей теплового расширения и намагниченности в сильных полях HoVO<sub>4</sub>, обусловленных эффектами кристаллического поля. Обнаружены значительный магнитоупругий вклад в тепловое расширение ионов Ho, а также существенное отличие этого вклада для редкоземельных ванадатов и фосфатов. Исследования намагниченности HoVO<sub>4</sub> в сильных магнитных полях вдоль тетрагональной оси обнаруживают аномалии, связанные с пересечением нижних уровней иона Ho в поле ~135 kOe, а особенности эффекта кроссовера при низких температурах свидетельствуют о сложном характере этого явления.

HoVO<sub>4</sub> принадлежит к семейству редкоземельных (РЗ) цирконов RXO<sub>4</sub> (X=As, P, V; R — редкоземельный ион), которые имеют при комнатной температуре тетрагональную структуру (пространственная группа  $I4_1/amd$ ), а РЗ ионы занимают в ней позиции с тетрачечной симметрией  $\bar{4}2\ m$  [1]. Для большого числа соединений этого семейства (TbVO<sub>4</sub>, DyVO<sub>4</sub>, TmVO<sub>4</sub>) обнаружено более или менее сильное ян-теллеровское взаимодействие и исследованы особенности проявления эффекта Яна-Теллера для различных схем вырождения в спектре РЗ иона [2]. Для HoVO<sub>4</sub> сильных ян-теллеровских взаимодействий или структурного фазового перехода не обнаружено, хотя количественные данные о константах взаимодействия с колебаниями  $B_{1g}$ - и  $B_{2g}$ -типа в литературе отсутствуют.

Однако такие соединения со слабыми ян-теллеровскими корреляциями также представляют значительный интерес при систематическом исследовании магнитоупругих констант и констант связи с различными типами колебаний вдоль всего РЗ ряда соединений с данной структурой и, кроме того, могут демонстрировать многочисленные и разнообразные эффекты кристаллического поля. К последним можно отнести значительный круг явлений, который связан со сложным спектром и волновыми функциями данного РЗ иона в данном кристаллическом поле и их изменением (или изменением заселенности уровней) под действием различных внешних параметров. Исследования эффектов кристаллического поля позволяют уточнить параметры кристаллического поля и константы взаимодействия и проследить их изменение по ряду РЗ ионов и, таким образом, связать эти фундаментальные параметры с особенностями кристаллической структуры и электронной структуры РЗ ионов.

Согласно спектроскопическим исследованиям  $\text{HoVO}_4$  [3], основной мультиплет  $^5I_8$  иона  $\text{Ho}^{3+}$  расщепляется в тетрагональном кристаллическом поле таким образом, что нижними энергетическими уровнями являются соответственно синглет ( $\Gamma_1$ ), дублет ( $\Gamma_5$ ) на расстоянии  $21 \text{ cm}^{-1}$  и синглет ( $\Gamma_4$ ) вместе с дублетом ( $\Gamma_5$ ) на расстоянии  $47 \text{ cm}^{-1}$ . Кроме того, известно, что первый возбужденный дублет иона Ho слегка ( $\sim 2.3 \text{ cm}^{-1}$ ) расщеплен при  $T \lesssim 20 \text{ K}$ , что трудно объяснить в предположении строго тетрагональной симметрии кристаллической структуры. Однако до настоящего времени никакими экспериментальными методами не удалось обнаружить существования спонтанного или индуцированного структурного или магнитного фазового перехода при  $T \gtrsim 4.2 \text{ K}$ . Специфика нижних энергетических уровней иона  $\text{Ho}^{3+}$  определяет тот факт, что  $\text{HoVO}_4$  является ванфлековским парамагнетиком, для которого обнаружено значительное ( $\sim 175$ ) усиление эффективного ядерного момента иона Ho [4].

Таким образом, хотя на первый взгляд  $\text{HoVO}_4$  представляется значительно более простым по сравнению с другими РЗ ванадатами с сильными ян-теллеровскими корреляциями ( $\text{DyVO}_4$ ,  $\text{TbVO}_4$ ,  $\text{TmVO}_4$ ), целый ряд необъясенных экспериментальных фактов свидетельствует о его не совсем обычном поведении. Поэтому исследования различных эффектов кристаллического поля в  $\text{HoVO}_4$ , проведенные в настоящей работе, позволяют получить дополнительную информацию о величинах микроскопических констант взаимодействия и создать более адекватную картину для описания этого соединения.

## 1. Образцы и методика измерений

В настоящей работе проведены температурные измерения параметров элементарной ячейки и намагниченности в сильных магнитных полях  $\text{HoVO}_4$ . Измерения были выполнены на монокристаллических образцах, выращенных методом спонтанной кристаллизации из раствора в расплаве с использованием в качестве растворителя расплава  $\text{PbO}-\text{PbF}_2-\text{V}_2\text{O}_5-\text{H}_3\text{BO}_3$ .

Рентгенографические измерения параметров  $a$  и  $c$  с тетрагональной элементарной ячейки проводились на дифрактометре «Гейгерфлекс»

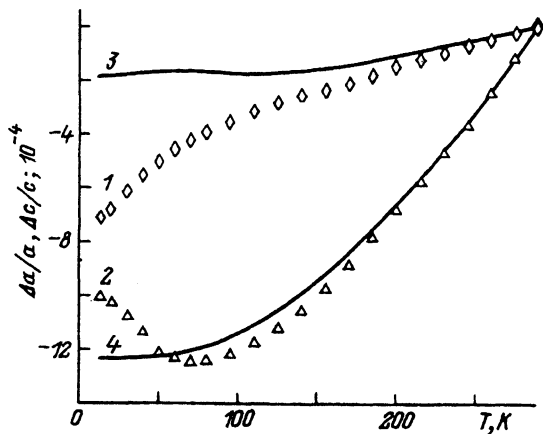


Рис. 1. Относительные изменения с температурой параметров  $\Delta a/a$  (1) и  $\Delta c/c$  (2) тетрагональной элементарной ячейки  $\text{HoVO}_4$ .

Для сравнения показаны аналогичные зависимости  $\Delta a/a$  (3) и  $\Delta c/c$  (4) для  $\text{GdVO}_4$ .

с проточным гелиевым криостатом CF-108 (Oxford Instruments). Температурные измерения были выполнены на монокристаллических пластинах с естественными кристаллическими гранями (100) по рефлексам (10.00) (излучение  $\text{Cu}K_{\beta}$ ,  $2\theta \approx 156^\circ$ ) и (008) (излучение  $\text{Cu}K_{\alpha 1}$ ,  $2\theta \approx 157^\circ$ ). Относительная ошибка измерения параметров  $a$  и  $c$  по температуре составляла  $\delta a/a \approx \delta c/c \approx \text{ctg } \theta \cdot \Delta \theta \approx 10^{-5}$  ( $\Delta \theta \approx 0.005^\circ$ ). Измерения намагниченности  $\text{HoVO}_4$  проводились в импульсных магнитных полях до 200 кОе вдоль тетрагональной оси кристалла. Абсолютные величины магнитного поля и намагниченности измерялись соответственно с точностью  $\pm 10$  и  $\pm 30\%$ .

## 2. Результаты и их обсуждение

1. Тепловое расширение. На рис. 1 приведены относительные изменения с температурой параметров  $\Delta a/a = [a(T)/a(290\text{ K}) - 1]$  и  $\Delta c/c = [c(T)/c(290\text{ K}) - 1]$  для  $\text{HoVO}_4$ . Сплошными линиями для сравнения показаны аналогичные зависимости для  $\text{GdVO}_4$ , для которого магнитоупругий вклад в тепловое расширение, по-видимому, сравнительно мал. Поэтому зависимости  $\Delta a/a$  и  $\Delta c/c$  для  $\text{GdVO}_4$  могут использоваться для оценки фононного вклада в тепловое расширение  $\text{HoVO}_4$ .

Отметим прежде всего значительную анизотропию фононного вклада в тепловое расширение для ванадатов: относительное изменение параметров элементарной ячейки  $\text{GdVO}_4$  вдоль и перпендикулярно тетрагональной оси в интервале температур 290–10 К достигает  $\sim 2 \cdot 10^{-4}$  и  $\sim 12 \cdot 10^{-4}$  соответственно. Этим РЗ ванадаты  $\text{RVO}_4$  со структурой циркона отличаются от РЗ фосфатов  $\text{RPO}_4$ , для которых анизотропия фононного вклада в тепловое расширение вдоль и перпендикулярно тетрагональной оси не превышает 10% [5]. Причина такого различия фононного вклада в тепловое расширение ванадатов и фосфатов в настоящее время не совсем понятна. При этом степень тетрагонального искажения решетки  $a/c - 1$  для РЗ ванадатов с тяжелыми РЗ ионами изменяется от 0.136 для Gd до 0.128 для Lu соединений, тогда как для РЗ фосфатов степень тетрагонального искажения несколько больше и изменения происходят в интервале от 0.144 до 0.141.

Зависимость  $\Delta a(T)/a$  для  $\text{HoVO}_4$  при всех температурах проходит ниже соответствующей зависимости для  $\text{GdVO}_4$ , причем эта зависимость сильно отличается от дебаевской, для которой характерно насыщение ниже 100–80 К. На зависимости  $\Delta a(T)/a$   $\text{HoVO}_4$  наблюдается несколько особенностей типа точек перегиба, а максимум коэффициента теплового расширения  $\alpha_a = (1/a)(da/dT)$  приходится на температуру  $\sim 30 (рис. 2, кривая 1).$

С точностью нашего эксперимента во всей исследованной области температур мы не обнаружили никакого уширения рефлексов (10.00), которое свидетельствовало бы об искажении тетрагональной структуры циркона до ромбической или ниже ( $a/b - 1 \lesssim 4 \cdot 10^{-5}$ ). Это значит, что во всей исследованной области температур структура  $\text{HoVO}_4$  остается тетрагональной, только меняется с температурой, причем немонотонно, степень тетрагональности.

Зависимость  $\Delta c(T)/c$   $\text{HoVO}_4$  (рис. 1, кривая 2) имеет немонотонный характер с минимумом в районе 80 К, причем результатирующее тепловое расширение  $\text{HoVO}_4$  больше, чем  $\text{GdVO}_4$  (кривая 4) при  $T > 60$  К,

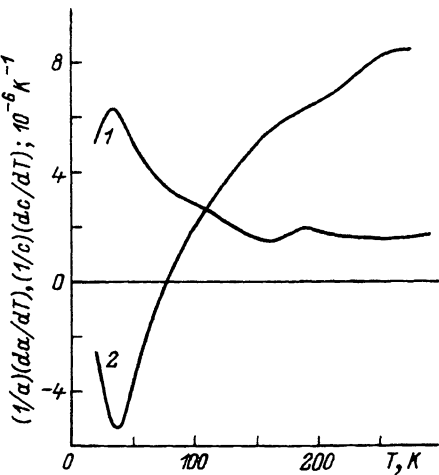


Рис. 2. Температурные зависимости коэффициентов теплового расширения  $(1/a)(da/dT)$  (1) и  $(1/c)(dc/dT)$  (2)  $\text{HoVO}_4$ .

но соотношение меняется при более низкой температуре. Коэффициент теплового расширения вдоль тетрагональной оси  $\alpha_c = (1/c)(dc/dT)$  меняет знак при  $T \sim 80$  К и имеет экстремум при температуре  $\sim 30$  К, совпадающей с максимумом коэффициента  $\alpha_a$  (рис. 2, кривая 2).

Особенности теплового расширения  $\text{HoVO}_4$  аналогичны наблюдаемым ранее для РЗ фосфатов и обусловлены магнитоупругим вкладом иона Но. Чтобы выделить магнитоупругий вклад в тепловое расширение в чистом виде, необходимо корректно учесть фононный вклад. Рентгенографические измерения для  $\text{GdVO}_4$  позволяют произвести только оценки этого вклада, поскольку он зависит от различных факторов, которые сложным образом меняются по ряду РЗ ионов. Фононный вклад зависит от молекулярного веса, и эта зависимость в дебаевской модели теплового расширения дает поправку к фононному вкладу

$$\delta(\Delta a(T=0)/a) = \Delta a(T=0)/a(M^{3/2}/M_0^{3/2} - 1),$$

где  $M$  и  $M_0$  — молекулярные веса исследованного и эталонного (в нашем случае  $\text{Gd}$ ) соединений. Аналогичное соотношение можно записать и для параметра  $c$ .

Гораздо сложнее учесть зависимость фононного вклада от других параметров соединения (степени тетрагональности, упругих свойств решетки и т.д.), а также оценить возможный магнитоупругий вклад (на наш взгляд, незначительный) для  $\text{GdVO}_4$ . Наиболее надежный способ, по-видимому, состоит в измерении теплового расширения для ряда диамагнитных или изотропных (слабо анизотропных) РЗ соединений с данной структурой и экстраполяции этой экспериментальной зависимости. Наибольшая неопределенность при выделении магнитоупругого вклада возникает для параметра  $c$ , когда поправка к фононному вкладу больше, а величина самого магнитоупругого вклада меньше. Это ограничивает точное определение магнитоупругого вклада и, как следствие, магнитоупругих констант  $B^{\alpha 1}$  и  $B^{\alpha 2}$  и позволяет в настоящий момент провести только оценки этих величин.

Для  $\text{HoVO}_4$  по сравнению с  $\text{GdVO}_4$  добавка к фононному вкладу за счет разности молекулярных весов  $\delta(\Delta a/a)$ ,  $\delta(\Delta c/c)$  положительна

$(M > M_0)$ . Это значит, что на рис. 1 фононный вклад  $(\Delta a/a)_{ph}$ ,  $(\Delta c/c)_{ph}$  для  $\text{HoVO}_4$  пройдет ниже соответствующих зависимостей  $\Delta a/a$  и  $\Delta c/c$  для  $\text{GdVO}_4$ , причем разница линейно увеличивается с понижением температуры, достигая при 10 К величин  $0.09 \cdot 10^{-4}$  и  $0.53 \cdot 10^{-4}$  соответственно. С учетом поправки фононный вклад  $(\Delta c/c)_{ph}$  для  $\text{HoVO}_4$  пройдет ниже зависимости  $\Delta c/c$  для  $\text{HoVO}_4$ , т.е. магнитоупругий вклад положителен для параметра  $c$  при всех температурах, но отрицателен для параметра  $a$  и имеет подобные температурные зависимости для обоих параметров. Именно такое поведение предсказывает теоретическое рассмотрение в модели кристаллического поля в квадрупольном гармоническом приближении. Этот факт позволяет проконтролировать правильность учета фононного вклада и поправок к нему.

Знаки магнитоупругих вкладов в тепловое расширение для параметров  $a$  и  $c$  в  $\text{HoVO}_4$  прямо противоположны наблюдаемым ранее в РЗ фосфатах  $\text{RPO}_4$ , что связано, на наш взгляд, с различными кристаллическими полями в фосфатах и ванадатах и прежде всего с изменением знака члена второго порядка  $B_2^0$  [5]. Из рис. 1 видно, что магнитоупругий вклад для параметра  $a$  превышает вклад для параметра  $c$ , что обусловлено различными значениями магнитоупругих констант  $B^{\alpha 1}$  и  $B^{\alpha 2}$ , а также симметризованных упругих констант  $C_0^{\alpha 1}$ ,  $C_0^{\alpha 2}$ ,  $C_0^{\alpha 12}$ .

В общем случае соотношение магнитоупругих вкладов для параметров  $a$  и  $c$  для тетрагональной структуры можно записать в следующем виде:

$$\frac{(\Delta a(T)/a)_m}{(\Delta c(T)/c)_m} = \frac{B^{\alpha 1} F_{11}(C_0^{\alpha k}) - B^{\alpha 2} F_{12}(C_0^{\alpha k})}{B^{\alpha 1} F_{21}(C_0^{\alpha k}) + B^{\alpha 2} F_{22}(C_0^{\alpha k})},$$

где  $B^{\alpha 1}$ ,  $B^{\alpha 2}$  — магнитоупругие константы кубической и тетрагональной симметрии соответственно, а  $F_{ij}(C^{\alpha k}) = F_{ij}(C_0^{\alpha 1}, C_0^{\alpha 12}, C_0^{\alpha 2})$  ( $i, j = 1, 2$ ;  $k = 1, 12, 2$ ) — некоторые функции симметризованных упругих констант  $C_0^{\alpha 1}$ ,  $C_0^{\alpha 12}$ ,  $C_0^{\alpha 2}$ , выражения для которых приведены в [5]. Эта формула позволяет оценить соотношение магнитоупругих констант  $B^{\alpha 1}/B^{\alpha 2}$  исходя из соотношения магнитоупругих вкладов, определенных на эксперименте. Используя для расчета симметризованных упругих констант  $C_0^{\alpha 1}$ ,  $C_0^{\alpha 12}$ ,  $C_0^{\alpha 2}$  упругие константы  $C_{11}$ ,  $C_{12}$  и  $C_{33}$  для  $\text{TmVO}_4$  [6] и полагая  $C_{12} \approx C_{13}$ , мы получили следующие значения числовых коэффициентов  $F_{ij}$  перед магнитоупругими коэффициентами (в единицах  $10^{11} \text{ din/cm}^2$ ):  $F_{11} = 26.7$ ,  $F_{12} = 31.2$ ,  $F_{21} = 20.7$ ,  $F_{22} = 53.9$ .

Чтобы уменьшить влияние неопределенности фононного вклада, мы выбрали для оценок интервал температур 80–10 К, для которого изменение магнитоупругого вклада  $[\Delta a(T_1)/a - \Delta a(T_2)/a]_m$  максимально, а изменение фононного вклада при этом не превышает 10–15% от магнитоупругого. В этом интервале температур магнитоупругий вклад для параметров  $a$  и  $c$  (за вычетом фононного) составляет  $3.05 \cdot 10^{-4}$  и  $-2.75 \cdot 10^{-4}$  соответственно. Из этих экспериментальных данных мы получили для соотношения магнитоупругих констант значение  $B^{\alpha 1}/B^{\alpha 2} = -0.58$ , т.е. константа  $B^{\alpha 2}$  примерно в полтора раза больше и имеет противоположный знак по сравнению с константой  $B^{\alpha 1}$ . Отметим, что для большинства РЗ фосфатов из аномалий теплового

расширения получены аналогичные соотношения для магнитоупругих констант  $B^{\alpha 1}/B^{\alpha 2}$  [5].

2. Намагченность вдоль тетрагональной оси. Теоретические расчеты в модели кристаллического поля для  $\text{HoVO}_4$  предсказывают эффект пересечения основного синглета и второго возбужденного дублета иона  $\text{Ho}^{3+}$  для ориентации магнитного поля вдоль тетрагональной оси [7,8]. Экспериментально пересечение уровней в  $\text{HoVO}_4$  наблюдалось ранее при спектроскопических исследованиях эффекта Зеемана [9] и измерении упругих констант в поле  $H \parallel c$  [7]. Эти эксперименты обнаруживают специфические аномалии в поле  $118 \pm 2$  и  $\sim 120$  kOe соответственно, обусловленные пересечением уровней.

Для наблюдения эффекта кроссовера и индуцированного магнитного момента выше критического поля пересечения уровней мы провели измерения намагченности в импульсных магнитных полях до 200 kOe вдоль тетрагональной оси. На рис. 3 приведен ряд изотерм намагченности  $\text{HoVO}_4$  для  $H \parallel c$ . Видно, что при низкой температуре намагченность мала в полях до 120 kOe и скачком возрастает

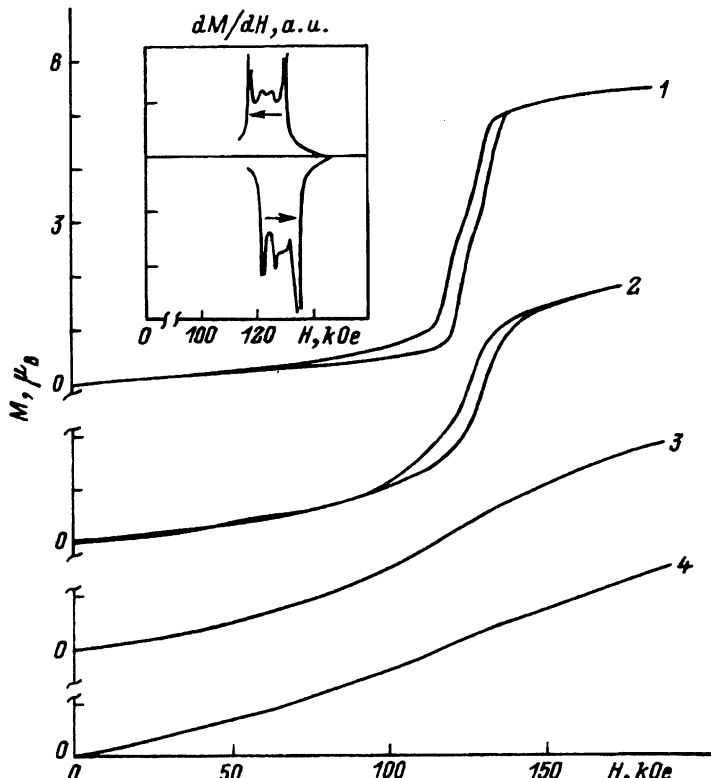


Рис. 3. Изотермы намагченности  $\text{HoVO}_4$  для магнитного поля вдоль тетрагональной оси.

$T=4.2$  (1),  $9$  (2),  $19$  (3),  $29$  К (4). На вставке — дифференциальная восприимчивость  $dM/dH$  при  $T=4.2$  К.

вблизи критического поля  $\sim 135$  kOe. Выше критического поля намагниченность быстро насыщается, достигая величины  $\sim 6.0 \pm 1.5 \mu_B$ . При повышении температуры намагниченность ниже критического поля увеличивается, а выше него уменьшается. Таким образом, скачок намагниченности размывается и становится менее выраженным, однако наблюдается вплоть до температур  $\sim 30$  K. Критическое поле, соответствующее точке перегиба, при повышении температуры практически не меняется. Гистерезис, наблюдавшийся при низкой температуре, связан, на наш взгляд, с импульсным характером намагничивания.

Очень интересной особенностью эффекта кроссовера в данном соединении является то, что при низкой температуре (см.  $T=4.2$  K) на изотерме намагниченности в действительности наблюдаются два (или даже три) близко расположенных скачка. Отметим, что двухступенчатый характер скачка намагниченности ни в коем случае не связан с качеством кристалла, в частности с наличием кристаллических двойников или блоков. На изотерме дифференциальной восприимчивости  $dM/dH$  при 4.2 K (рис. 3, вставка) отчетливо видны два больших максимума на расстоянии  $\sim 15$  kOe, между которыми расположен еще один, более слабый. Различная величина максимумов  $dM/dH$  на рис. 3 для возрастающего и уменьшающегося поля объясняется различной скоростью изменения магнитного поля в течение импульса, а «обрзание» сигнала в максимуме связано с особенностями метода регистрации.

Скачкообразное возрастание намагниченности  $\text{HoVO}_4$  для  $H \parallel c$  обусловлено особенностями спектра и волновых функций (электронной структуры) иона  $\text{Ho}^{3+}$  в структуре циркона [7]. Основной синглет иона  $\text{Ho}^{3+}$  имеет при  $H=0$  преобладающий вклад волновой функции  $|0\rangle$  и обнаруживает слабую зависимость от магнитного поля, тогда как первый возбужденный и особенно второй возбужденный дублеты значительно расщепляются. Выше точки кроссовера в новом основном состоянии преобладает вклад волновой функции  $| -7 \rangle$ , который сравним со вкладом во второй возбужденный дублет на 47 K при  $H = 0$ . Это значит, что выше точки кроссовера индуцируется значительный магнитный момент.

Двухступенчатый характер скачка намагниченности  $\text{HoVO}_4$  при низкой температуре является наиболее неожиданным и удивительным, и необходимы дополнительные эксперименты, чтобы понять его причину. В настоящее время мы можем высказать только некоторые предварительные соображения. Двухступенчатый характер кроссовера может быть связан, например, с наличием неэквивалентных позиций для иона  $\text{Ho}^{3+}$  в структуре  $\text{HoVO}_4$ . Такие позиции отсутствуют в неискаженной тетрагональной структуре циркона, однако могут появиться в результате структурного и/или магнитного фазового перехода. В настоящее время отсутствуют прямые экспериментальные данные, свидетельствующие о существовании какого-либо спонтанного фазового перехода в  $\text{HoVO}_4$  при  $T \geq 4.2$  K. Следует, однако, отметить, что прецизионные спектроскопические исследования  $\text{HoVO}_4$  [3] обнаруживают небольшое ( $\sim 2.3 \text{ cm}^{-1}$ ) начальное расщепление первого возбужденного дублета  $\text{Ho}^{3+}$ , которое авторы связывают со слабым искажением его тетрагональной структуры. Это начальное расщепление обусловлено некоторым эффектом кооперативного характера, поскольку оно не наблюдается в разбавленном соединении  $\text{Ho}_{0.1}\text{Y}_{0.9}\text{VO}_4$ . Не исключено, что вблизи критического поля в структуре циркона происходит структурный переход, связанный с изменением координационного окружения иона  $\text{Ho}^{3+}$ .

ченко также, что некоторый фазовый переход может быть индуцирован в HoVO<sub>4</sub> в сильном магнитном поле при низких температурах.

Неэквивалентные позиции для Р3 иона возникают, например, в родственном соединении DyVO<sub>4</sub> в результате структурного фазового перехода, обусловленного кооперативным эффектом Яна-Теллера [10]. Поскольку упорядочение локальных ян-тэллеровских искашений вокруг ионов Dy имеет неферродисторсионный характер, этот фазовый переход является одновременно антисегнетоэлектрическим и сопровождается возникновением неэквивалентных позиций для Р3 ионов в структуре. В связи со всем сказанным представляется интерес дальнейшее экспериментальное исследование HoVO<sub>4</sub> методами, наиболее чувствительными к различным фазовым переходам, например исследование магнитоэлектрического эффекта.

### Список литературы

- [1] Wyckoff W.G. Cristal Structure. V. 3. New York: Interscience, 1965.
- [2] Gehring G.A., Gehring K.A. // Rep. Prog. Phys. 1975. V. 38. P. 1-89.
- [3] Battison J.E., Kasten A., Leask M.J.M., Lowry J.B. // J. Phys. C. 1977. V. 10. N 2. P. 323-332.
- [4] Bleaney B., Robinson F.N.H., Well M.R. // Proc. Roy. Soc. Lond. A. 1978. V. 362. N 1. P. 179.
- [5] Sokolov V.I., Kezei Z.A., Kolmakova N.P. // Physica B. 1992. V. 176. N 1. P. 101-112.
- [6] Melcher R.L. Physical Acoustics V. 12 / Ed. W.P.Mason and R.N.Thurston. New York: Academic Press, 1976.
- [7] Goto T., Tamaki A., Fujimura T., Unoki H. // J. Phys. Soc. Japan. 1986. V. 55. N 5. P. 1613-1623.
- [8] Андроненко С.И., Бажан А.Н., Иоффе В.А., Уданов Ю.П. // ФТТ. 1985. Т. 27. № 3. С. 609-613.
- [9] Battison J.E., Kasten A., Leask M.J.M., Lowry J.B. // Phys. Lett. A. 1975. V. 55. N 3. P. 173-174.
- [10] Unoki H., Sakudo T. // Phys. Rev. Lett. 1977. V. 38. N 3. P. 137-140.

Московский государственный  
университет им. М.В.Ломоносова

Поступило в Редакцию  
20 января 1994 г.